

05;07

# КВАЗИОДНОМЕРНЫЙ РЕЖИМ СМЕЩЕНИЙ И НИЗКОПОРОГОВЫЕ ЛОКАЛЬНЫЕ РАЗРУШЕНИЯ ПОВЕРХНОСТЕЙ ТВЕРДЫХ ТЕЛ ПРИ МНОГОКРАТНОМ ЛАЗЕРНОМ ОБЛУЧЕНИИ

© С.В. Винценц, С.Г. Дмитриев, О.Г. Шагимуратов

Формы проявления разрушений поверхностей твердых тел при воздействии лазерного излучения различной мощности и длительности весьма разнообразны [1]. Значительные разрушения могут наблюдаться локально [2,3] и регистрироваться дистанционно — акустическими методами [4,5]. Более проблематичны диагностика и исследование ранних стадий низкопороговых ( $\sim 0.1 \text{ Дж}/\text{см}^2$ ) процессов, развивающихся при многократном ( $N \sim 10^3 - 10^5$ ) импульсном ( $\tau \sim 0.1 - 1 \text{ мкс}$ ) воздействии [6]. В настоящей работе мы покажем, что амплитуды пороговых поверхностных смещений  $u_z$  в этом случае определяются некоторым квазиодномерным режимом, а перегрев поверхности обычно мал:  $\Delta T \gtrsim 10 \text{ К}$ .

Пороговые значения плотности поглощенной энергии  $W_{th}$  для обсуждаемых процессов приближенно характеризуются размерным эффектом [6,7]:  $W_{th} = \epsilon(1 - R)/(\pi a^2) \sim a$  ( $\epsilon$  — энергия импульса,  $R$  — коэффициент отражения света,  $a$  — радиус греющего луча). В диапазоне  $a \sim 10 - 100 \text{ мкм}$  пороговые величины максимальных (по радиусу и времени) деформаций  $\partial u_z / \partial \rho$  ( $\rho$  — радиус от центра луча до точки измерения) не зависят от радиуса луча  $a$  [7,8]. Можно предположить поэтому, что заметную роль играют сдвиговые напряжения  $\sigma_{rz}$ ; и хотя на самой поверхности  $\sigma_{rz} = 0$  [9], критические значения  $\sigma$  достигаются под ней [8].

Максимальные деформации реализуются на расстояниях  $\rho \lesssim a$  от центра луча за характерные времена  $t \sim 1 \text{ мкс}$ , когда тепловые длины (при поверхностном поглощении света)  $l \sim 2\sqrt{\chi t} < 10 \text{ мкм}$  малы (температуропроводность  $\chi \gtrsim 0.1 \text{ см}^2/\text{с}$ ). Поэтому “внешние” силы, а их роль при терморасширении играет величина  $2(1 + \nu)\alpha_t \text{ grad } T$  [9] ( $\alpha_t$  — температурный коэффициент линейного расширения,  $\nu$  — коэффициент Пуассона), локализованы вблизи поверхности  $l \lesssim a$ . Следовательно, можно ожидать, что кинетика смеще-

ний при  $\rho \lesssim a$  (на малых временах) будет отражать квазиодномерный характер задачи, что и будет показано ниже.

Действительно, для гауссова луча радиуса  $a$  и поверхностного поглощения при  $l \ll a$  (и  $\rho \lesssim a$ ) смещения (в квазистатическом приближении) неплохо описываются выражением [10]:

$$u_1 = u_0 \exp(-\rho^2/a^2) \int_0^t f(t') dt', \quad u_0 = \alpha_t(1+\nu) \frac{2\varepsilon(1-R)}{c\rho_0} \frac{1}{\pi a^2}, \quad (1)$$

$$f(t) = \frac{t}{\tau^2} \exp(-t/\tau), \quad (1a)$$

где  $\rho_0$  — плотность,  $c$  — удельная теплоемкость,  $f(t)$  — нормированная времененная форма интенсивности света, которую часто (в режиме модулированной добротности [11]) представляют в форме (1a). Формула (1) и описывает квазиодномерный режим с гауссовой формой радиальной зависимости и эффектом “накопления” смещений на ранних стадиях разогрева. На больших временах (и расстояниях) сказывается эффект боковой диффузии тепла, приводящий к уменьшению амплитуды смещений и изменению формы радиальной зависимости — “размазке”.

На рис. 1 представлены мгновенные профили смещений  $u_z(\rho)$  для стали, полученные при допороговых [7,8] значениях энергии импульса  $\varepsilon \approx 1.5 \cdot 10^{-7}$  Дж ( $a \approx 25$  мкм,  $\lambda = 1.06$  мкм,  $R \approx 0.6$ ,  $\tau \sim 0.3 - 0.4$  мкс) методом, описанным ранее [10]. Форма начальных профилей (кривая 1) практически совпадает с гауссовой ( $\rho \lesssim a$ ); в частности, максимум деформаций  $\partial u_z / \partial \rho$  достигается при  $\rho \approx a/\sqrt{2}$ . В дальнейшем (кривая 3) профили расплываются.

Соотношение между максимальными амплитудами (кривая 2 на рис. 1) и квазиодномерным режимом иллюстрируется рис. 2, на котором представлены экспериментальные точки и теоретическое “разложение” кинетики смещений в центре лазерного пятна (кривая 1) на квазиодномерный режим (кривая 2) и эффект тепловой размазки (кривая 3), соответствующее двум слагаемым в выражении [10]:

$$u_2 = u_0 \int_0^t dt' f(t') \left( 1 - \sqrt{\frac{4\chi\Delta t}{a^2 + 4\chi\Delta t}} \right), \quad \Delta t = t - t'. \quad (2)$$

Второе слагаемое на рис. 2 отложено (для удобства) вниз от  $u_0$ . Теоретические кривые построены для  $u_0 = 3.3 \text{ \AA}$ ;

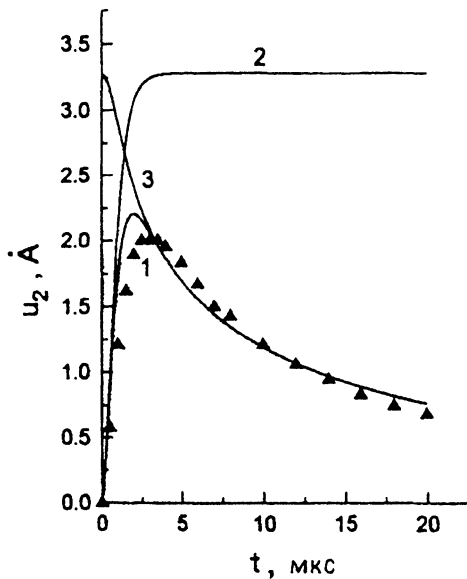


Рис. 1. Профили смещений поверхности образца стали под действием лазерного импульса с энергией  $\sim 1.5 \cdot 10^{-7}$  Дж, диаметром луча  $\sim 50$  мкм и длительностью нарастания интенсивности в импульсе  $\sim 0.35$  мкс в различные моменты времени: 1 — 1 мкс, 2 — 2 мкс, 3 — 8 мкс.

$a^2/\chi = 50$  мкс;  $\tau = 0.45$  мкс Дж/г · К для стали (марка 40)  $\chi = 0.125$  см<sup>2</sup>/с,  $c = 0.46$  Дж/г · К,  $\rho_0 = 7.8$  г/см<sup>3</sup>,  $G = 8.4 \times 10^{10}$  Н/м<sup>2</sup>,  $\nu = 0.3$ ,  $\alpha_t = 1.1 \cdot 10^{-5}$  К<sup>-1</sup> (разброс значений табличных данных < 10%) [12].

Таким образом, масштабы максимальных смещений  $u_z \sim u_0$  и деформаций  $\partial u_z / \partial \rho \sim u_0/a$  определяются квазиодномерным режимом; они локализованы в области ( $z, \rho \lesssim a$ ) вблизи поверхности и убывают степенным образом, если  $z, \rho \gg a$ . При этом максимальные значения (под поверхностью)  $\sigma_{zp} \sim Gu_0/a \sim G(\alpha_t W_{th}/c\rho_0 a) = \sigma_m$ . Вблизи порога ( $W_{th} \sim a$ )  $\sigma_m$  слабо зависит от  $a$  и  $G/\sigma_m \sim 3 \cdot 10^4$  (по данным [7,8]), а максимальные смещения  $u_m$ , как можно легко оценить (см. рис. 2 и формулу (2)), достигают  $u_m \sim 20-40$  Å для  $a \sim 25-45$  мкм и  $W_{th} \sim (3-6) \cdot 10^{-2}$  Дж/см<sup>2</sup>.

Существуют различные (феноменологические) критерии порога пластичности  $\sigma_0$  для напряжений, определяемые не только сдвиговой, но и другими компонентами тензора напряжений (точнее, тензором  $(\sigma_{ik} - \sigma_{jj}\delta_{ik})$  с нулевым следом) [13], однако именно сдвиговая компонента определяет ми-

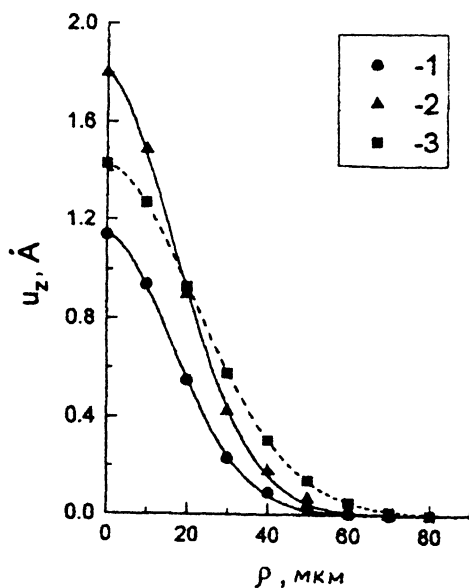


Рис. 2. Временные зависимости смещения  $u_2(t)$  поверхности образца в центре греющего луча. Сплошными линиями обозначены теоретические зависимости (см. формулу (2)) для  $u_0 = 3.3 \text{ \AA}$ ;  $a^2/\chi = 50 \text{ мкс}$ ;  $\tau = 0.45 \text{ мкс}$ : 1 — полное смещение, 2 — квазиодномерный режим, 3 — эффект влияния диффузии тепла; треугольники — экспериментальные данные.

нимимальные значения  $\sigma_0$  и их масштаб в более сложных ситуациях. Пороговые значения  $G/\sigma \gtrsim 100-1000$  для марок прочных сталей [13] отличаются в 10–100 раз от приведенной оценки. Заметим в этой связи, что речь идет о поверхностном слое (а не объеме образца) толщиной  $\lesssim a$ , а при определении порога разрушения [7,8] исключена зависимость от выбора количественных критериев [12,13] для остаточных деформаций.

С другой стороны, разогрев поверхности вблизи порога (за время импульса) не превышает величины [10]

$$\Delta T \lesssim \zeta \frac{W_{th}}{c\rho_0\sqrt{\pi\chi\tau}}, \quad (3)$$

где  $\zeta \approx 0.85$ ; для указанных параметров  $\Delta T \sim 20-40 \text{ K}$ , что вряд ли оставляет сомнения в нетепловом характере процесса многоимпульсного разрушения.

Отметим в заключение, что амплитуды смещений поверхности и напряжений в низкопороговых ( $W_{th} \lesssim 0.1 \text{ Дж/см}^2$ ) процессах разрушения поверхностей твердых

тел под действием серии лазерных импульсов ( $\tau \sim 0.1-1$  мкс) определяются квазиодномерным режимом смещений (см. (2) и рис. 2) и ограничены величиной  $u_0$  (см. (1)), не зависящей от температуропроводности. При радиусах луча  $a \gtrsim 10$  мкм максимальные смещения (для стали)  $u_m \sim 10\text{ \AA}$ , а перегрев поверхности  $\Delta T \sim 10$  К мал.

### Список литературы

- [1] Луконен Р.А., Трофименко А.М. // ЖТФ. 1991. Т. 61. В. 10. С. 127–138.
- [2] Jee Y., Becker M.F., Walser R.M. // J. Opt. Soc. Am. 1988. V. 5. N 3. P. 648–659.
- [3] Thomas S.J., Harrison R.F., Figueira J.F. // Appl. Phys. Lett. 1982. V. 40. N 3. P. 200–202.
- [4] Вейко В.П., Дрейден Г.В., Островский Ю.Н. и др. // ЖТФ. 1990. Т. 60. В. 4. С. 162–164.
- [5] Коновалов И.А., Скларенко К.С., Скларенко С.К. // Письма в ЖТФ. 1994. Т. 20. В. 6. С. 26–28.
- [6] Lee C.S., Koumvakalis N., Bass M. // Appl. Phys. Lett. 1982. V. 41. N 7. P. 625–627.
- [7] Барков А.Г., Винценц С.В. // ФТТ. 1994. Т. 36. N 9. С. 2590–2598.
- [8] Винценц С.В., Дмитриев С.Г. // Письма в ЖТФ. 1995. Т. 21. В. 19. С. 1–5.
- [9] Ландау Л.Д., Либшиц Е.М. Теория упругости. М., 1987. 248 с.
- [10] Винценц С.В., Дмитриев С.Г., Шагимуратов О.Г. // ФТТ. 1996. Т. 38. № 4.
- [11] Рэди Дж. Действие мощного лазерного излучения. М. 1974. 468 с.
- [12] Таблицы физических величин. Справочник / Под ред. И.К. Кикоина. 1976. 1005 с.
- [13] Разрушение / Под ред. Г. Либовица. М. 1975. Т. 2. 763 с.

Институт радиотехники  
и электроники РАН  
Фрязино, Моск. обл.

Поступило в Редакцию  
27 февраля 1996 г.